

孤立磁通量管的磁流体静力学平衡

胡 文 瑞

(中国科学院力学研究所, 北京)

摘 要

本文讨论具有细长磁位形的孤立轴对称通量管。通量管的内部采用磁流体静力学模型, 外部选用分层大气模型。问题的数学描述归结为非线性偏微分方程问题, 在通量管自由边界上的条件是非线性的。根据小扩展角的近似, 可形式地获得级数展开解。我们具体地讨论了多方过程的等离子体, 结果表明, 热力学量和磁场的分布从高 β 区域延伸到低 β 区域; 而且根据通量管内、外的压差, 通量管即可是扩展的, 或者是收缩的。

关键词: 太阳磁场, 磁流体静力学, 磁通量管

一、前 言

在天体物理应用或实验室研究中, 对磁流体静力学平衡问题都进行了广泛的探索。天体物理环境下, 大部分理论工作限于寻求连续磁场分布的静力学方程解。然而, 在观测倾向于孤立磁通量管的模型时发现, 其连续分布的磁场只集中于磁力管中。例如, 在太阳大气中, 90% 的磁通量存在于小尺度的孤立通量管中^[1], 也有诸如弧、拱和日珥这些大尺度结构与孤立磁场位形相联系^[2], 恒星大气中的磁结构, 情况也类似。孤立磁通量管可能是天体物理应用中的基本磁场位形, 其结构如图 1 所示。

孤立通量管的一维模型给出均匀大气约束的磁通量管, 磁场沿管截面均匀分布^[3]。许多情况下, 通量管有非均匀特性, 解释观测现象时, 至少要用二维模型^[4], 更一般地用三维模型^[5]。我们已经研究了几个相似解^[6-8], 以及柱坐标系中 Taylor 级数展开的近似解^[9,10], 并对这些二维解和观测进行了比较。由于孤立磁通量管问题的非线性困难, 故不容易求解完整问题。我们曾讨论大标高分层大气约束的孤

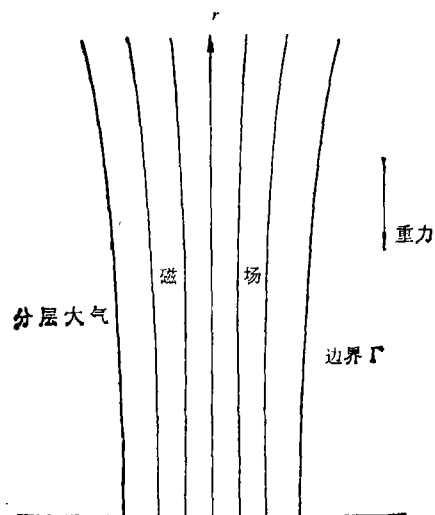


图 1 孤立磁通量管的模型

1988 年 11 月 10 日收到修改稿。

立无力场通量管^[11,12], 在此情况下, 一般非线性问题化简为弱非线性问题, 可求分析解。本文讨论更一般的约束磁通量管。

二、约束磁通量管

取球坐标 (r, θ, φ) , 原点在恒星内部, 轴对称 $(\partial/\partial\varphi = 0)$ 的磁流体静力学方程组为(参见文献[13])

$$B_\theta \left(\frac{\partial B_r}{\partial \theta} - \frac{\partial r B_\theta}{\partial r} \right) - B_\varphi \frac{\partial r B_\varphi}{\partial r} - 4\pi r \left(\frac{\partial p}{\partial r} + \frac{G\mathcal{M}_*}{r^2} \rho \right), \quad (2.1)$$

$$B_r \left(\frac{\partial r B_\theta}{\partial r} - \frac{\partial B_r}{\partial \theta} \right) - \frac{B_\varphi}{\sin \theta} \frac{\partial B_\varphi \sin \theta}{\partial \theta} - 4\pi \frac{\partial p}{\partial \theta}, \quad (2.2)$$

$$B_r \frac{\partial r B_\varphi}{\partial r} + \frac{B_\theta}{\sin \theta} \frac{\partial B_\varphi \sin \theta}{\partial \theta} = 0, \quad (2.3)$$

$$\frac{1}{r} \frac{\partial r^2 B_r}{\partial r} + \frac{1}{\sin \theta} \frac{\partial B_\theta \sin \theta}{\partial \theta} = 0, \quad (2.4)$$

$$f = \rho \mathcal{R} T, \quad (2.5)$$

$$p = p(\rho), \quad (2.6)$$

其中磁场 $\mathbf{B} = (B_r, B_\theta, B_\varphi)$; p , ρ 和 T 分别是压力、密度和温度; \mathcal{R} , G 和 \mathcal{M}_* 为气体常数、重力常数和恒星质量。(2.1)–(2.6) 式共 6 个方程, 用来确定 $B_r, B_\theta, B_\varphi, \rho, p$ 和 T 6 个量。在许多磁流体静力学研究中没有考虑过程方程(2.6), 组建出许多特解。这种处理有一些限制。

一般而言, 方程组(2.1)–(2.6) 也适用于管外的区域, 那里磁场相对较弱, 可用分层大气模型描述。这样, 可写出

$$\frac{dp_e}{dr} = - \frac{G\mathcal{M}_*}{r^2} \rho_e, \quad (2.7)$$

$$p_e = \rho_e \mathcal{R} T_e, \quad (2.8)$$

$$p_e = p_e(\rho_e), \quad (2.9)$$

下标 e 表示管外区域。等温时(2.7)–(2.9) 式给出:

$$p_e(r) = p_e(r_0) \exp \left[- \left(\frac{r_0}{h} \right) \frac{r - r_0}{r_0} \right], \quad (2.10)$$

其中 r_0 为典型半径, 而大气标高 h 定义为

$$h = \frac{\mathcal{R} T_e r_0^2}{G\mathcal{M}_*}. \quad (2.11)$$

事实上, 压力分布 $p_e(r)$ 可由理论或经验模型给出, 天文学中已提出许多恒星大气模型。

由接触间断条件, 两区域的界面 Γ 上满足

$$p(r) + \frac{1}{8\pi} B^2(r) = p_e(r), \quad r \in \Gamma, \quad (2.12)$$

而边界面 Γ 可写为

$$r = r_b(\theta) \text{ 或 } \theta = \theta_b(r). \quad (2.13)$$

问题就归结为在非线性边条件(2.12)式及自由边条件(2.13)式下, 求解非线性方程组(2.1)–(2.6)式.

引进无量纲量:

$$\begin{aligned} R &= \frac{r}{r_0}, \quad \rho^* = \frac{\rho}{\rho_0}, \quad p^* = \frac{p}{p_0}, \quad T^* = \frac{T}{T_0}, \quad B^* = \frac{B}{B_0}, \\ \beta &= \frac{p_0}{B_0^2/4\pi}, \quad \sigma = \frac{G\mathcal{M}_*\rho_0/r_0}{B_0^2/4\pi}, \quad \delta = \frac{\sigma}{\beta}, \end{aligned} \quad (2.14)$$

下标 0 为典型值, 上标 * 为无量纲量, 为了简化在下面省略. 这样, 通量管的基本方程组为

$$B_\theta \left(\frac{\partial B_r}{\partial \theta} - \frac{\partial R B_\theta}{\partial R} \right) - B_\varphi \frac{\partial R B_\varphi}{\partial R} - R \left(\beta \frac{\partial p}{\partial R} + \frac{\sigma}{R^2} \rho \right), \quad (2.15)$$

$$B_r \left(\frac{\partial R B_\theta}{\partial R} - \frac{\partial B_r}{\partial \theta} \right) - \frac{B_\varphi}{\sin \theta} \frac{\partial B_\varphi \sin \theta}{\partial \theta} - \beta \frac{\partial p}{\partial \theta}, \quad (2.16)$$

$$B_r \frac{\partial R B_\varphi}{\partial R} + \frac{B_\theta}{\sin \theta} \frac{\partial B_\varphi \sin \theta}{\partial \theta} = 0, \quad (2.17)$$

$$\frac{1}{R} \frac{\partial R^2 B_r}{\partial R} + \frac{1}{\sin \theta} \frac{\partial B_\theta \sin \theta}{\partial \theta} = 0, \quad (2.18)$$

$$p = \rho T, \quad (2.19)$$

$$p = p(\rho). \quad (2.20)$$

边界条件(2.12)式简化为

$$p[R_b(\theta), \theta] + \frac{1}{2\beta} B^2[R_b(\theta), \theta] = p_c[R_b(\theta)]. \quad (2.21)$$

磁场无源条件(2.5)或(2.18)式可写成积分形式. 它要求沿通量管任意截面的磁通量守恒, 而将磁场分布与磁通量管位形联系在一起. 由此给出

$$\iint \mathbf{B} \cdot d\mathbf{S} = \Phi \text{ (常数)}, \quad (2.22)$$

其中 $d\mathbf{S}$ 为面积元. 上式又可表示为

$$\int_0^{\theta_0} \int_0^{2\pi} B_r r^2 \sin \theta d\theta d\varphi = \Phi, \quad (2.23)$$

其中 $\theta = \theta_0$ 是磁通量管的边界扩展角.

三、细长位形

磁通量管的具体位形不仅依赖于管内的解, 也取决于管外区域中的压力分布. 一般情况下, 外部压力分布对通量管位形可有重大影响, 这是需要仔细讨论的问题. 本文只限于讨论 $\theta_0 \ll 1$, 即细长位形. 根据小展角近似, 通量管的解可表示为 θ 的级数, 用渐近展开方法可形式地逐级求解非线性问题(参见文献[13]).

将二维量表示为

$$p = \sum_{m=0}^{\infty} p^{(m)}(R)\theta^m, \quad \rho = \sum_{m=0}^{\infty} \rho^{(m)}(R)\theta^m, \quad T = \sum_{m=0}^{\infty} T^{(m)}(R)\theta^m, \quad \mathbf{B} = \sum_{m=0}^{\infty} \mathbf{B}^{(m)}(R)\theta^m, \quad (3.1)$$

其中上标 m 表示展开的阶数。管外分层大气的压力分布与 θ 无关, 即只有零阶项非零:

$$p_0 = p_0^{(0)}(R), \quad T_0 = T_0^{(0)}(R), \quad \rho_0 = \rho_0^{(0)}(R). \quad (3.2)$$

将(3.1)和(3.2)式代入基本方程和边界条件, 就可逐级求出 m 阶 ($m = 0, 1, 2, \dots$) 的方程和边界条件。

现在先讨论守恒关系(2.23)式, 它可重新写为

$$2\pi \sum_{m=0}^{\infty} B_r^{(m)}(R) r^2 J^{(m)}(\theta_b) = \Phi, \quad (3.3)$$

其中的积分表达式 $J^{(m)}(\theta_b)$ 为

$$J^{(m)}(\theta_b) = \int_0^{\theta_b} \theta^m \sin \theta d\theta. \quad (3.4)$$

对小角 θ_b 近似, 利用 $\sin \theta$ 和 $\cos \theta$ 展开, (3.4)式化为

$$J^{(m)}(\theta_b) = \frac{\theta_b^{m+2}}{m+2} + O(\theta_b^{m+4}). \quad (3.5)$$

积分(3.5)式就给出

$$J^{(0)} = \frac{\theta_b^2}{2} + O(\theta_b^4), \quad (3.6)$$

$$J^{(2)} = \frac{\theta_b^4}{3} + O(\theta_b^6), \quad (3.7)$$

$$J^{(4)} = \frac{\theta_b^6}{4} + O(\theta_b^8) \quad (3.8)$$

等等。我们记

$$\Phi = 2B_r^{(0)}(1)J^{(0)}(\theta_b^0), \quad (3.9)$$

由(3.3)式可求出一阶边界展角为

$$\theta_b^{(1)} = \frac{1}{R} \left[\frac{B_r^{(0)}(1)}{B_r^{(0)}(R)} \right]^{1/2} \theta_b^0 + O(\theta_b^0), \quad (3.10)$$

其中 $\theta_b^0 = \theta_b(1)$ 。关系式(3.10)给出 $\theta_b^{(0)}(R)$ 与 $B_r^{(0)}(R)$ 之间的关联。若 $B_r^{(0)}(R)$ 正比于 $1/R^2$, $\theta_b^{(1)}$ 就是常数, 通量管位形为球膨胀。类似地, 可讨论(3.3)式的高阶关系。

方程(2.15)–(2.20)的零阶关系可写为

$$\frac{dp^{(0)}}{dR} + \frac{\delta}{R^2} \rho^{(0)} = 0, \quad (3.11)$$

$$p^{(0)} = \rho^{(0)} T^{(0)}, \quad (3.12)$$

$$p^{(0)} = p^{(0)}(\rho^{(0)}), \quad (3.13)$$

$$B_\theta^{(0)} = 0, \quad B_\phi^{(0)} = 0. \quad (3.14)$$

边界条件(2.21)式为

$$p^{(0)}(R) + \frac{1}{2\beta} B_r^{(0)2} = p_0(R). \quad (3.15)$$

将(3.13)式代入(3.11)式, 密度 $\rho^{(0)}$ 的关系由下式给出:

$$\int \frac{dp^{(0)}(\rho^{(0)})}{d\rho^{(0)}} \frac{d\rho^{(0)}}{\rho^{(0)}} = \frac{\delta}{R} + c_0, \quad (3.16)$$

其中 c_0 为积分常数。如果过程(3.13)式确定了,就可求解零阶热力学量。例如,对多方过程有

$$p = \rho^n, \quad (3.17)$$

n 是多方指数。方程(3.17)的零阶关系为

$$p^{(0)} = \rho^{(0)n}. \quad (3.18)$$

将(3.18)式代入(3.16)式,我们有

$$\rho^{(0)} = \begin{cases} \left[\frac{n-1}{n} \left(\frac{\delta}{R} + c_0 \right) \right]^{1/(n-1)}, & n \neq 1, \\ \exp \left(\frac{\delta}{R} + c_0 \right), & n = 1. \end{cases} \quad (3.19)$$

由此给出压力分布为

$$p^{(0)} = \begin{cases} \left[\frac{n-1}{n} \left(\frac{\delta}{R} + c_0 \right) \right]^{n/(n-1)}, & n \neq 1, \\ \exp \left(\frac{\delta}{R} + c_0 \right), & n = 1. \end{cases} \quad (3.21)$$

将(3.10)式及压力分布 $p^{(0)}(R)$ 代入零阶总压守恒条件(3.15)式,边界展角可确定为

$$\frac{R\theta_b^{(1)}}{\theta_0} = \left\{ \frac{B_r^{(0)}(1)}{2\beta} \frac{1}{[p_c(R) - p^{(0)}(R)]^{1/2}} \right\}^{1/2}, \quad (3.23)$$

它准确到 θ_0^2 阶。表达式(3.23)说明,函数 $R\theta_b^{(1)}(R)$ 即可递增,也可递减;所以,通量管即可发散,也可收缩,取决于通量管内、外的压力分布(尽管内外压力皆随 R 减小而减小)。可以看出,分层大气所约束的通量管在大多数情况下是发散的,但收缩的情况也不能绝对地排除在外。

类似地,一阶方程组可以写为^[11]

$$B_\theta^{(1)} B_r^{(1)} = \beta R \frac{d p^{(1)}}{d R} + \frac{\sigma}{R} \rho^{(1)}, \quad (3.24)$$

$$-B_r^{(0)} B_r^{(1)} = \beta p^{(1)}, \quad (3.25)$$

$$B_\theta^{(1)} = -\frac{1}{2R} \frac{d R^2 B_r^{(0)}}{d R}, \quad (3.26)$$

$$B_r^{(0)} \frac{d R B_\theta^{(1)}}{d R} + 2 B_\theta^{(1)} B_r^{(1)} = 0, \quad (3.27)$$

$$p^{(1)} = \rho^{(0)} T^{(1)} + \rho^{(1)} T^{(0)}, \quad (3.28)$$

$$p^{(1)} = p^{(1)}(\rho^{(1)}, \rho^{(0)}). \quad (3.29)$$

边界条件(2.21)式的一阶关系给出类似于(3.25)式的公式。将(3.25), (3.26)和(3.29)式代入(3.24)式,我们得到 $p^{(1)}$ 的方程如下:

$$\beta R \frac{d p^{(1)}}{d R} + \frac{\sigma}{R} \rho^{(1)}(p^{(1)}) - \frac{\beta}{2R} \frac{d R^2 B_r^{(0)}}{d R} \frac{p^{(1)}}{B_r^{(0)}}. \quad (3.30)$$

对于多方过程(3.17),我们有一阶关系

$$p^{(1)} = n \rho^{(0)n-1} \rho^{(1)}. \quad (3.31)$$

这样,方程(3.30)化为

$$\frac{d p^{(1)}}{d R} = \left[\frac{1}{2R^2 B_r^{(0)}} \frac{d R^2 B_r^{(0)}}{d R} - \frac{\sigma}{n R^2 \rho^{(0)n-1}} \right] p^{(1)}. \quad (3.32)$$

利用(3.19)或(3.20)式,可得压力分布:

$$p^{(1)} = \begin{cases} c_1 R \sqrt{B_r^{(0)}} \left[\frac{n-1}{n} \left(c_0 + \frac{\delta}{R} \right) \right]^{\frac{1}{n-1}}, & n \neq 1, \\ c_1 R \sqrt{B_r^{(0)}} \exp\left(\frac{\delta}{R}\right), & n = 1, \end{cases} \quad (3.33)$$

其中 c_1 为常数。考虑到(3.31)和(3.28)式,密度分布和温度分布分别得

$$\rho^{(1)} = \begin{cases} \frac{c_1}{n} R \sqrt{B_r^{(0)}} \left[\frac{n-1}{n} \left(c_0 + \frac{\delta}{R} \right) \right]^{\frac{1-n}{n-1}}, & n \neq 1, \\ c_1 R \sqrt{B_r^{(0)}} \exp\left(\frac{\delta}{R}\right), & n = 1 \end{cases} \quad (3.35)$$

和

$$T^{(1)} = \begin{cases} \frac{n-1}{n} c_1 R \sqrt{B_r^{(0)}}, & n \neq 1, \\ 0, & n = 0. \end{cases} \quad (3.37)$$

由(3.25)、(3.26)和(3.27)式可分别求出磁场分量 $B_r^{(1)}$, $B_\theta^{(1)}$ 和 $B_z^{(1)}$ 。

类似地,我们可以逐步地分析高阶解的特性^[13]。

四、多方等离子体模型

我们用多方过程来描述通量管内、外的等离子体,但两者的多方指数可不相同。这意味着,本文集中分析 $R = 1$ 附近延伸几个大气标高的区域。

由 $R = R_k$ 的条件可以确定各阶解的常数 c_n 。在讨论 $R = 1$ 附近的解时,选取 $R_k = 1$ 。这样,(3.19)和(3.21)式给出零阶热力学量为

$$p^{(0)} = K(R) R^{\frac{n}{n-1}}, \quad n \neq 1, \quad (4.1)$$

$$\rho^{(0)} = K(R) R^{\frac{1}{n-1}}, \quad n \neq 1, \quad (4.2)$$

$$T^{(0)} = K(R), \quad n \neq 1, \quad (4.3)$$

其中的函数 $K(R)$ 定义为

$$K(R) = p_0 \frac{R-1}{R} = \frac{n-1}{n} \frac{1}{R} \frac{r-r_0}{h}. \quad (4.4)$$

而典型标高 $h = \mathcal{R}T_0 / \left(\frac{G \mathcal{M}^*}{r_0^2} \right)$, $p_0 = p^{(0)}(1) = 1$, $\rho^{(0)}(1) = 1$ 和 $T^{(0)}(1) = 1$, 我们分析 $R = 1$ 附近的解。公式(4.1)–(4.4)表明,零阶热力学量的典型变化尺度是典型标高 h , 与绝热过程对应的结果 $\left(n = \frac{5}{3} \right)$ 示于图 2 中。对于 $n > 1$ 的其他情况有类似的分布, n 值较大时,热力学量衰减较快。零阶磁场 $B_r^{(0)}$ 以及与此相应的 $\theta^{(0)}(R)$ 都将依赖于管外的压力分布。若管外的分层大气的多方指数也是 $n_e = \frac{5}{3}$, 对于 $\beta = 0.5$, $B_r^{(0)}$ 和 $\theta^{(0)}$ 的分布如图 3。

考虑到定义(4.4)式,一阶热力学量可写为

$$\frac{p^{(1)}(R)}{p^{(1)}(1)} = R \sqrt{B_r^{(0)}(R)} K(R) R^{\frac{1}{n-1}}, \quad (4.5)$$

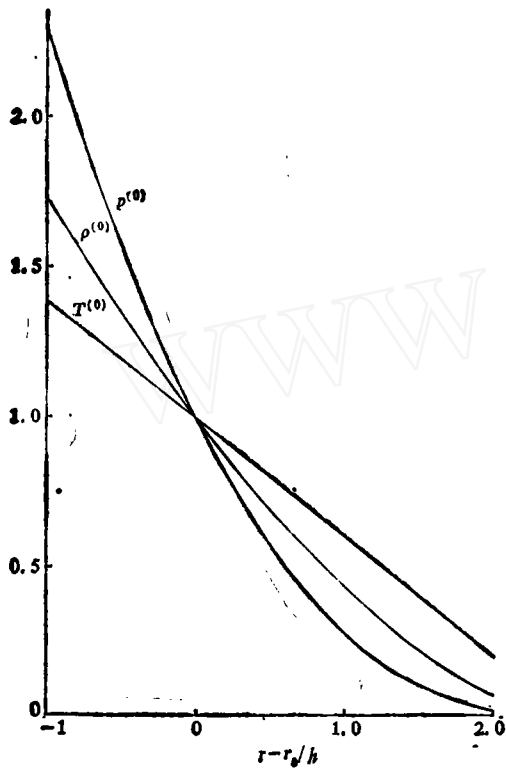


图2 零阶热力学量的分布
($n = \frac{5}{3}$, $\beta = 0.5$)

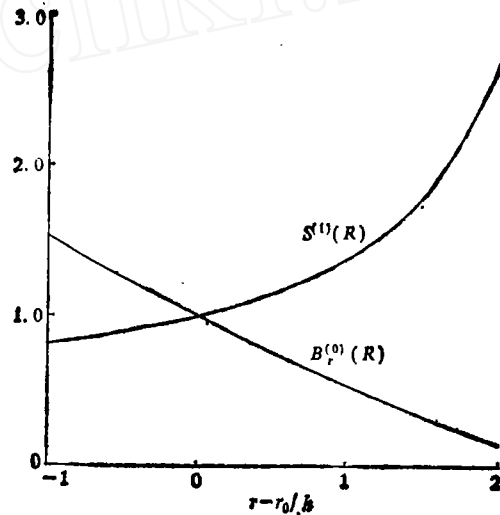


图3 零阶磁场及相应横截面函数的分布
($n = n_0 = \frac{5}{3}$, $\beta = 0.5$)

$$\frac{\rho^{(1)}(R)}{\rho^{(1)}(1)} = R \sqrt{B_r^{(0)}(R)} K(R)^{\frac{1-n}{n-1}}, \quad (4.6)$$

$$\frac{T^{(1)}(R)}{T^{(1)}(1)} = R \sqrt{B_r^{(0)}(R)}, \quad (4.7)$$

其中 $p^{(1)}(1)$, $\rho^{(1)}(1)$ 和 $T^{(1)}(1)$ 是一阶量在 $R = 1$ 处的值。类似地, 一阶磁场分量为

$$B_r^{(1)} = -\beta p^{(1)}(1) \frac{p^{(1)}(R)}{B_r^{(0)}(R)}, \quad (4.8)$$

$$B_\theta^{(1)} = -\frac{1}{2R} \frac{dR^2 B_r^{(0)}}{dR}, \quad (4.9)$$

$$\frac{B_\phi^{(1)}(R)}{B_\phi^{(1)}(1)} = R B_r^{(0)}(R), \quad (4.10)$$

其中 $B_\phi^{(1)}(1)$ 是 $R = 1$ 处磁场分量的值。图4和图5分别是 $\beta = 0.5$ 和 $n = n_0 = 5/3$ 时的一阶热力学量和磁场分布。(4.8)式给出一阶磁压 $B_r^{(0)} B_r^{(1)} / \beta$ 与一阶热力学压力反号, 因此热力学量较大的非均匀性对应于磁场较大的非均匀性, 但两者变化趋势相反, 即当 θ 增加时, 一个量增大, 一个量减小, 反之亦然。 $p^{(1)}(1)$, $\rho^{(1)}(1)$ 和 $T^{(1)}(1)$ 的值由观测或物理条件确定。例如, 对太阳黑子而言, 这些量是负的, 光球观测黑子内、外的值给出热力学量的差别, 由此可

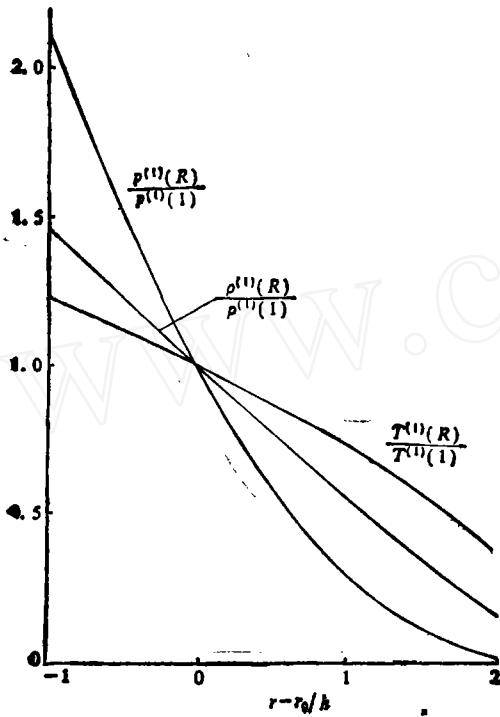


图 4 一阶热力学量的分布
($n = n_e = \frac{5}{3}, \beta = 0.5$)

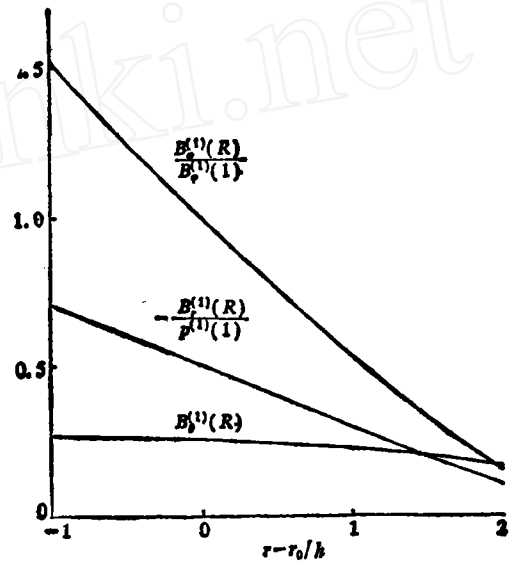


图 5 一阶磁场的分布
($n = n_e = \frac{5}{3}, \beta = 0.5$)

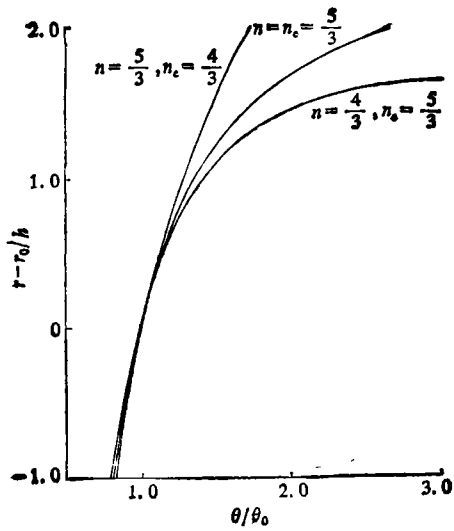


图 6 发射通量管的位形
($\beta = 0.5$)

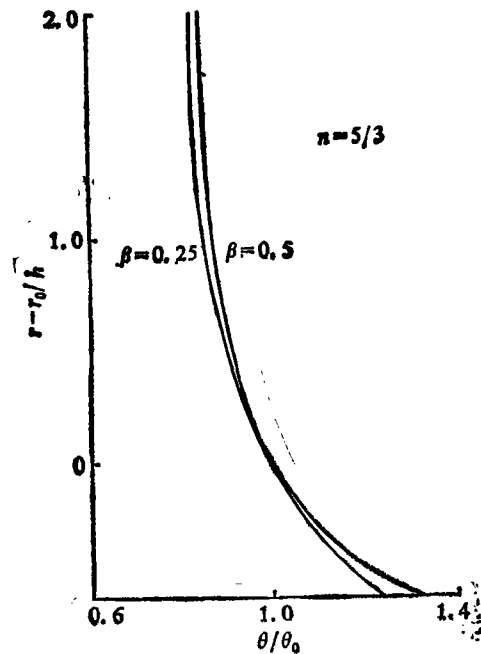


图 7 一类收缩通量管 $h_e \gg h$

组建轴对称黑子的理论模型。这时,太阳表面、太阳大气(光球、色球、日冕)和对流区分别对应于 $R = 1$, $R > 1$ 和 $R < 1$ 。

通量管的边界依赖于管内、外的压差。外部压力可衰减得比内部更快或更慢,前者要求通量管发散,后者要求收缩或发散较小。 $\beta = 0.5$ 的几个发散位形绘在图 6 中。如果外部标高远大于内部的 ($h_e \gg h$), 外部压力可看成均匀的, 随 R 增加含有越来越大的压差。这时的通量管位形如图 7 所示。由于需要大的磁压去平衡压差, 故通量管是收缩的。要指出的是, 上述讨论不允许通量管边界变化太快, 但一般物理图象是成立的。

五、讨 论

当 $B_{\theta}^{(0)}(R)R^2$ 不变时, 零阶模型退化为一维模型, 通量管边界 $\theta = \theta_0$ (常数)。管内的热力学量类似于管外, 满足分层大气模型。管内、外的热力学量都随 R 增加而衰减, 以克服重力。一阶量显示沿截面的非均匀性, 若有一个热力学量在某一截面均匀, 则所有热力学量在所有截面皆均匀。零阶和一阶压力梯度的绝对值都大于温度梯度的绝对值。将通量管应用到黑子时, 管内一阶热力学量皆负, 对称轴附近的压力和温度比管边界处低。

偏离球膨胀就要求截面变化, 如(4.9)式所示, 分量 $B_{\theta}^{(1)}$ 来自 $R^2 B_{\theta}^{(0)}$ 的变化。相对小的 $B_{\theta}^{(0)}(R)$ 变化联系于较扩展的截面和相对大的 $B_{\theta}^{(1)}(R)$ 。另外, 磁场的扭绞分量 $B_{\phi}^{(1)}(R)/B_{\phi}^{(1)}(1)$ 随 R 的增加而减小。因此, 大气中的扭绞分量来自表面以下; 而恒星对流区中切向磁场分量为零时, 大气中磁力线将不会扭绞。进而, 切向场磁能将随 R 增加而减少, 衰减率大致正比于标高。

通量管的位形在理论和应用上都很重要, 它是进一步讨论流动、波动及能量传递的基础。本文分析了孤立磁通量管的基本特性, 并给出了一种求解非线性自由面边值问题的方法。

参 考 文 献

- [1] Spruit, H. C., *The Sun As A Star*, NASA SP-450, 1981, 385.
- [2] Priest, E. R., *Solar Magnetohydrodynamics*, D. Reidel, 1982.
- [3] Lüst, R. & Schlüter, A., *Zs. Astrophys.*, 34(1954), 303.
- [4] Parker, E. N., *Cosmical Magnetic Field*, Clarendon Press, 1979.
- [5] Hu, W. R. et al., *Solar Phys.*, 83(1983), 195.
- [6] Deinzer, W. G., *Astrophys. J.*, 141(1965), 548.
- [7] Yun, H. S., *Astrophys. J.*, 162(1970), 975.
- [8] Osheovich, V. A., *Solar Phys.*, 94(1984), 205.
- [9] Parker, E. N., *Astrophys. J.* 191(1974), 245.
- [10] Wilson, P. R., *Astrophys. J.*, 214(1970), 975.
- [11] Hu, W. R., *J. Plasma Phys.*, 37(1987), 323.
- [12] 胡文瑞, 科学通报, 32(1987), 3: 257.
- [13] 胡文瑞, 中国科学, 1981, 5: 593.